



UNIVERSITÄTS-
BIBLIOTHEK
PADERBORN

Die Statik der Hochbau-Constructions

Landsberg, Theodor

Stuttgart, 1899

c) Trägheitsmomente und Centrifugalmomente

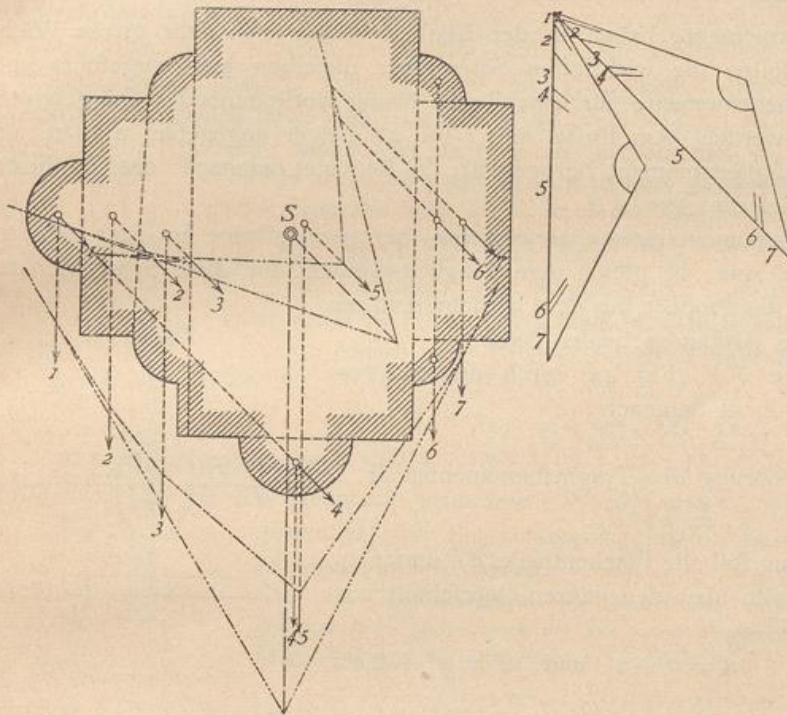
[urn:nbn:de:hbz:466:1-77733](https://nbn-resolving.org/urn:nbn:de:hbz:466:1-77733)

geschnittene Stück (ag , bzw. $a'g'$, $a''g''$) mit dem Polabstand H multiplicirt. Dabei muß das Stück ag auf dem Längenmaßstabe, der Polabstand H auf dem Flächenmaßstabe gemessen werden, nach welchem die Werthe von f aufgezeichnet sind.

Rückt die Axe XX weiter nach oben, so wird das von den äußersten Seilpolygon-Seiten auf derselben abgeschnittene Stück immer kleiner; geht die Axe durch den Schnittpunkt E der äußersten Seilpolygon-Seiten, so ist das abgeschnittene Stück gleich Null; also wird auch das statische Moment in Bezug auf diese Axe gleich Null; dieselbe ist also eine Schwerpunktsaxe. Hieraus folgt: Die durch den Schnittpunkt E der äußersten Seilpolygon-Seiten parallel zu XX gelegte Axe enthält den Schwerpunkt der Fläche.

Das soeben gefundene Ergebnis folgt auch mit Nothwendigkeit aus nachstehender Ueberlegung. Da die Flächen als Kräfte eingeführt sind, so kann man annehmen, diese Kräfte seien die Gewichte der einzelnen Theile einer an allen Stellen gleich starken Platte, welche dieselbe Form hat, wie die gegebene

Fig. 42.



Fläche, und in eben solche Theile getheilt ist, wie diese. Um die wirklichen Gewichte zu erhalten, braucht man nur alle Werthe f mit demselben Factor γ , dem Gewichte der Flächeneinheit, zu multipliciren. Da man aber die Platte aus beliebigem Material hergestellt und beliebig stark annehmen kann, so ist γ ganz beliebig, kann also auch gleich 1 gesetzt werden; die Werthe f können demnach auch als die Gewichte selbst angesehen werden. Die Mittelkraft aller dieser parallel gerichteten Kräfte geht demnach durch den Schwerpunkt der Fläche; sie geht aber auch durch den Schnittpunkt der äußersten Seilpolygon-Seiten und

ist der Richtung der anderen Kräfte parallel. Die durch diesen Schnittpunkt parallel zur Axe XX gezogene Linie ist also die Mittelkraft nach Richtung und Lage und geht durch den Schwerpunkt. Das Gleiche gilt von jeder anderen beliebigen Lage, welche für die Richtung der Axe, also auch der Kräfte angenommen wird. Man kann demnach leicht noch eine zweite Axe finden, auf welcher der Schwerpunkt liegt; der Schnittpunkt beider Axen ist dann der gesuchte Schwerpunkt.

Die gezeigte graphische Ermittlung des Schwerpunktes ist besonders bei unregelmäßigen Querschnitten empfehlenswerth; Fig. 42 zeigt diese Bestimmung für den Querschnitt eines Vierungspfeylers.

c) Trägheitsmomente und Centrifugalmomente.

Wird jedes Theilchen df einer Querschnittsfläche F mit dem Product uv seiner senkrecht genommenen Abstände von zwei Axen AA und BB multiplicirt (Fig. 43) und die Summe aller dieser Producte gezogen, so erhält man einen Ausdruck

$$J_{AB} = \int uv df,$$

48.
Schwerpunkt.

49.
Erläuterung.

welchen man das Centrifugalmoment des Querschnittes F für die Axen AA und BB nennt. Fallen beide Axen zusammen, so geht der Ausdruck in

$$\mathcal{F}_A = \int v^2 df$$

über, wenn BB mit der ursprünglichen Lage von AA zusammenfällt, bzw. in

$$\mathcal{F}_B = \int u^2 df,$$

wenn AA mit der ursprünglichen Lage von BB zusammenfällt. Man nennt $\mathcal{F}_A = \int v^2 df$ das Trägheitsmoment der Querschnittsfläche F für die Axe AA ; eben so bezeichnet man

$\mathcal{F}_B = \int u^2 df$ als das Trägheitsmoment des Querschnittes für die Axe BB .

Die Trägheitsmomente haben in der Elasticitätslehre eine sehr große Wichtigkeit; deshalb sollen die wichtigsten Sätze über dieselben hier vorgeführt und zugleich die Trägheitsmomente für eine Reihe häufig vorkommender Querschnittsformen entwickelt werden. Am Fufse von \mathcal{F} soll als Zeiger angegeben werden, auf welche Axe das Trägheitsmoment bezogen ist; \mathcal{F}_A bedeutet demnach: das Trägheitsmoment bezogen auf die Axe AA .

50.
Trägheitsmomente für zur Schwerpunktsaxe parallele Axen.

Das Trägheitsmoment eines Querschnittes, bezogen auf eine zu einer Schwerpunktsaxe parallele Axe, ist gleich dem Trägheitsmoment für diese Schwerpunktsaxe, vermehrt um das Product aus der Querschnittsfläche in das Quadrat des Abstandes beider Axen.

Geht die Axe YY (Fig. 44) durch den Schwerpunkt der Fläche, so ist demnach

$$\mathcal{F}_A = \mathcal{F}_Y + Fa^2.$$

Nach der Erklärung des Trägheitsmomentes ist

$$\mathcal{F}_A = \int u^2 df.$$

Die Summirung soll alle Flächentheile df umfassen; die Integration ist also über den ganzen Querschnitt auszudehnen. Nun ist

$$u = a + z \quad \text{und} \quad u^2 = a^2 + 2az + z^2,$$

also

$$\mathcal{F}_A = \int u^2 df = a^2 \int df + 2a \int z df + \int z^2 df.$$

Es ist jedoch $\int df = F$ und $\int z^2 df = \mathcal{F}_Y$, ferner nach der Lehre vom Schwerpunkt $\int z df = 0$, weil YY eine Schwerpunktsaxe ist; mithin in der That

$$\mathcal{F}_A = Fa^2 + \mathcal{F}_Y \dots \dots \dots 18.$$

Im Folgenden sollen für einige häufig vorkommende Querschnittsformen die Trägheitsmomente rechnerisch ermittelt werden.

α) Trägheitsmoment für den rechteckigen Querschnitt (Fig. 45).

Für diesen ist, bezogen auf die Schwerpunktsaxe YY ,

$$\mathcal{F}_Y = \int_{-\frac{h}{2}}^{+\frac{h}{2}} z^2 df.$$

Fig. 43.

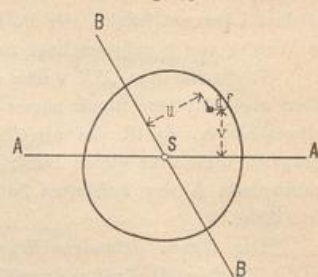
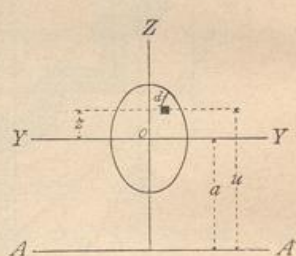
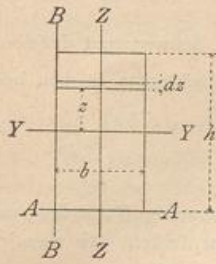


Fig. 44.



51.
Trägheitsmomente für rechteckige Querschnitte.

Fig. 45.



Da für alle Theile eines zu YY parallelen Streifens s dieselbe Größe hat, so kann man $df = b ds$ setzen, und es wird

$$J_Y = b \int_{-\frac{h}{2}}^{+\frac{h}{2}} z^2 dz = \left[\frac{b z^3}{3} \right]_{-\frac{h}{2}}^{+\frac{h}{2}} = \frac{b}{3} \left[\frac{h^3}{8} + \frac{h^3}{8} \right] = \frac{b h^3}{12} \quad \dots \quad 19.$$

Das Trägheitsmoment für eine Axe AA , welche mit einer Seite des Rechteckes zusammenfällt, ist nach Gleichung 18

$$J_A = \frac{b h^3}{12} + b h \left(\frac{h}{2} \right)^2 = \frac{b h^3}{12} + \frac{b h^3}{4} = \frac{b h^3}{3}.$$

Für eine zu YY normal stehende Schwerpunktsaxe ZZ ist nach Obigem

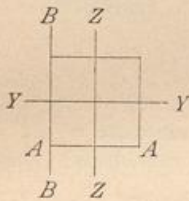
$$J_Z = \frac{h b^3}{12},$$

und für die Axe BB ist

$$J_B = \frac{h b^3}{3}.$$

Man kann dies in Worten folgendermaßen ausdrücken: Das Trägheitsmoment eines Rechteckes für eine zu einer der Seiten parallele Schwerpunktsaxe ist gleich dem Producte: Breite mal dritte Potenz der Höhe, dividirt durch zwölf; für eine mit einer Seite des Rechteckes zusammenfallende Axe ist das Trägheitsmoment dagegen gleich dem Producte: Breite mal dritte Potenz der Höhe, dividirt durch drei. Als Breite gilt die Abmessung des Rechteckes in der Richtung der betreffenden Axe, als Höhe die zu ersterer senkrechte Abmessung.

Fig. 46.



Mit Zuhilfenahme dieses Ergebnisses kann man für eine große Zahl von Querschnitten der Praxis die Trägheitsmomente leicht finden.

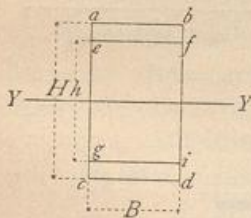
Das Quadrat ist ein Rechteck mit gleich langen Seiten; ist seine Seitenlänge $b = h = d$, so wird (Fig. 46)

$$J_Z = J_Y = \frac{d^4}{12} \quad \text{und} \quad J_A = J_B = \frac{d^4}{3}.$$

β) Trägheitsmomente für aus Rechtecken zusammengesetzte Querschnitte. Die für das Rechteck gefundenen Werthe von J werden vielfach angewendet, um für zusammengesetzte Querschnitte die Trägheitsmomente zu finden.

52.
Symmetrische
I- u. L-förmige
Querschnitte.

Fig. 47.



Das Trägheitsmoment des Querschnittes in Fig. 47 ist gleich der Differenz des Trägheitsmomentes des ganzen Rechteckes $abcd$ weniger dem Trägheitsmoment des Rechteckes $efgh$, d. h. es ist

$$J_Y = \frac{1}{12} B H^3 - \frac{1}{12} B h^3 = \frac{B}{12} (H^3 - h^3).$$

Für den symmetrischen I-förmigen (Fig. 48) und für den L-förmigen Querschnitt (Fig. 49) ergibt sich hiernach

$$J_Y = \frac{1}{12} \left\{ b [h^3 - (h - 2t)^3] + d (h - 2t)^3 \right\}.$$

Dieser für die Berechnung unbequeme Ausdruck kann wesentlich vereinfacht werden. Wird der Abstand der Schwerpunkte des oberen, bezw. unteren Rechteckes mit η bezeichnet, also $h - 2t = \eta$ gesetzt und im letzten Gliede obigen Ausdruckes statt $h - 2t$ (nicht ganz genau, jedoch mit kleinem Fehler) η eingeführt, so ist

Fig. 48.

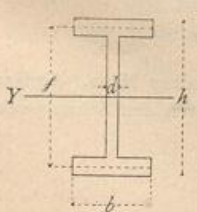
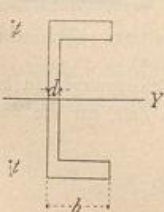


Fig. 49.



$$J_Y = \frac{1}{2} b t (h^2 - 2 h t + t^2) + \frac{1}{6} b t^3 + \frac{d \eta^3}{12}.$$

Wir setzen $b t = f$; alsdann wird

$$J_Y = \frac{1}{2} f (h - t)^2 + \frac{f t^2}{6} + \frac{d \eta^3}{12}.$$

$\frac{f t^2}{6}$ ist gegen das erste Glied sehr klein und kann ohne

Bedenken vernachlässigt werden; alsdann ist der Ausdruck für das Trägheitsmoment:

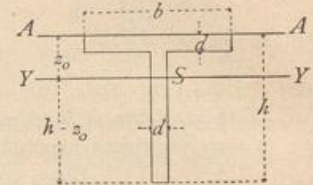
$$\mathcal{I}_Y = \frac{1}{2} f h^2 + \frac{d h^3}{12} = \frac{h^2}{2} \left(f + \frac{d h}{6} \right) \dots \dots \dots 20.$$

Denkt man sich die ganze Querschnittsfläche f des oberen Rechteckes im Schwerpunkt desselben vereinigt, also im Abstände $\frac{h}{2}$ von der Axe YY , und eben so die des unteren Rechteckes in dem bez. Schwerpunkt, so ist das Trägheitsmoment eines solchen Querschnittes

$$i = 2f \left(\frac{h}{2} \right)^2 = \frac{f h^2}{2}.$$

Dies ist aber der erste Theil unseres obigen Ausdruckes 20 für \mathcal{I}_Y ; der zweite Theil des Ausdruckes stellt demnach den Beitrag dar, welchen der Steg zum Trägheitsmoment leistet. Mit ziemlich genauer Annäherung erhält man demnach das Trägheitsmoment des symmetrischen I-förmigen Querschnittes, indem man die Querschnittsfläche des oberen und unteren Gurtes vermehrt um je $\frac{1}{6}$ der Querschnittsfläche des Steges (bis zu den Gurtschwerpunkten gerechnet), im Schwerpunkt des oberen und unteren Gurtes vereinigt denkt und dafür das Trägheitsmoment aufsucht.

Fig. 50.



53.
T-förmige
Querschnitte.

Wird beim T-förmigen Querschnitt (Fig. 50) der Abstand des Schwerpunktes von der durch die eine Kante gelegten Axe AA mit z_0 bezeichnet, so ist nach der Schwerpunktslehre

$$F z_0 = d (b - d) \frac{d}{2} + d h \frac{h}{2}, \text{ ferner } F = (b - d) d + d h.$$

Sonach ist

$$z_0 = \frac{(b - d) d^2 + d h^2}{2 [(b - d) d + d h]} = \frac{(b - d) d + h^2}{2 (b - d) + 2 h},$$

und das Trägheitsmoment für die wagrechte Schwerpunktsaxe YY

$$\mathcal{I}_Y = \frac{1}{3} [d (h - z_0)^3 + b z_0^3 - (b - d) (z_0 - d)^3].$$

Das Trägheitsmoment für die Axe AA ist

$$\mathcal{I}_A = \frac{1}{3} [d h^3 + (b - d) d^3].$$

54.
Unsymmetrische
I-förmige
Querschnitte.

Für den unsymmetrischen I-förmigen Querschnitt (Fig. 51) ist, wenn man die früheren Bezeichnungen beibehält

$$z_0 = \frac{\frac{d h \cdot h}{2} + (b - d) t \left(h - \frac{t}{2} \right) + \frac{(B - d) t^2}{2}}{d h + (b - d) t + (B - d) t} = \frac{d h^2 + (b - d) t (2 h - t) + (B - d) t^2}{2 [d h + (b - d) t + (B - d) t]}$$

und

$$\mathcal{I}_Y = \frac{1}{3} [b (h - z_0)^3 + B z_0^3 - (b - d) c^3 - (B - d) (z_0 - t)^3].$$

Fig. 51.

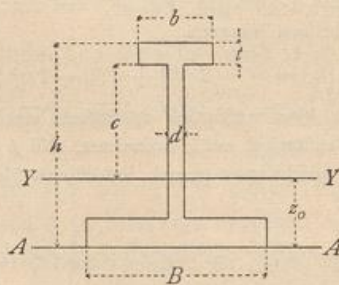
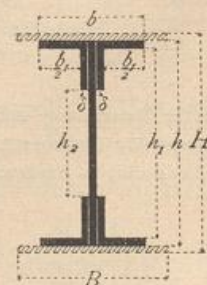


Fig. 52.



55.
Blechräger-
Querschnitte.

Bei den Querschnitten der Blechräger (Fig. 52) liegt der Schwerpunkt in halber Höhe. Alsdann ist, falls nur das lothrechte Blech und die 4 Winkleifen vorhanden sind, für die durch den Schwerpunkt gelegte wagrechte Axe

$$\mathcal{I} = \frac{1}{12} (b h^3 - b_1 h_1^3 - 2 \delta h_2^3).$$

Falls noch Blechplatten vorhanden sind, ermittelt man ihre Trägheitsmomente am besten besonders und zählt sie zum Trägheitsmoment des Querschnittes ohne Deckplatten. Das Trägheitsmoment dieser Deckplatten (Fig. 52) ist alsdann

$$\Delta \mathcal{I} = \frac{1}{12} B (H^3 - h^3).$$

γ) Trägheitsmoment für kreisförmige Querschnitte (Fig. 53).

Der Halbmesser des kreisförmigen Querschnittes sei r , der Durchmesser d . Zuerst soll das Trägheitsmoment der oberen Halbkreisfläche für die Axe YY bestimmt werden. Man zerlege die Kreisfläche in schmale Ringe, deren Mittelpunkte mit demjenigen der gegebenen Fläche zusammenfallen, und bestimme zunächst das Trägheitsmoment einer solchen Ringfläche. Der Halbmesser eines solchen Ringes sei ρ , seine sehr geringe Breite sei $d\rho$. Der Flächeninhalt eines Theilchens df dieser Ringfläche, welches zum Mittelpunktswinkel $d\varphi$ gehört, ist $df = \rho \cdot d\varphi \cdot d\rho$, und sein Trägheitsmoment bezogen auf die Axe YY

$$d(i) = y^2 \cdot df = \rho^2 \cdot \sin^2 \varphi \cdot df = \rho^3 d\rho \sin^2 \varphi d\varphi.$$

Das Trägheitsmoment des halben Ringes wird erhalten, indem man für alle Theile df desselben $d(i)$ aufsucht, d. h. indem man zwischen den Grenzen $\varphi = 0$ bis $\varphi = \pi$ integrirt, wobei natürlich ρ und $d\rho$ als Festwerthe (Constante) zu betrachten sind, da sie für alle Theilchen des Ringes gleiche Gröfse haben.

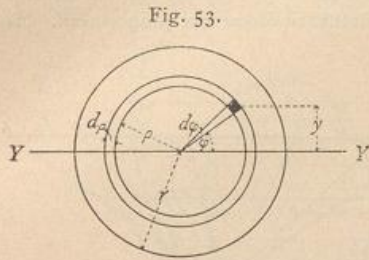


Fig. 53.

Man erhält

$$i = \rho^3 d\rho \int_0^\pi \sin^2 \varphi d\varphi = \rho^3 d\rho \left[\frac{\varphi}{2} - \frac{\sin \varphi \cos \varphi}{2} \right]_0^\pi = \frac{\rho^3 d\rho \cdot \pi}{2}.$$

Um aus diesem Trägheitsmomente einer halben Ringfläche dasjenige der halben Kreisfläche zu erhalten, beachte man, dass die letztere sich aus lauter halben Ringflächen zusammensetzt; demnach ist

$$\frac{\mathcal{I}}{2} = \Sigma (i) = \int_0^r \rho^3 d\rho \cdot \frac{\pi}{2} = \frac{\pi}{8} r^4,$$

und das Trägheitsmoment der ganzen Kreisfläche für die Axe YY

$$\mathcal{I} = \frac{\pi r^4}{4} = \frac{\pi d^4}{64} \dots \dots \dots 21.$$

Bei allen Angaben von Trägheitsmomenten ist zu beachten: Die Mafseinheit der Trägheitsmomente ist die Längeneinheit in der vierten Potenz (also entweder: Meter zur vierten, oder Centimeter zur vierten, oder Millimeter zur vierten Potenz etc.); denn jeder Theil des Trägheitsmomentes, also auch das Ganze, ist das Product einer Fläche in das Quadrat einer Länge. Deshalb ist stets mit der ziffermäßigen Gröfse auch die Mafseinheit des Trägheitsmomentes anzugeben.

Um ein Trägheitsmoment, welches in cm^4 angegeben ist, in ein solches zu verwandeln, dessen Mafseinheit mm^4 sind, muss man mit $10^4 = 10000$ multipliciren; umgekehrt ist mit $10^4 = 10000$ zu dividiren, wenn ein in mm^4 gegebenes Trägheitsmoment in eines mit der Mafseinheit cm^4 verwandelt werden soll.

Für die Statik und die Aufgaben derselben empfiehlt es sich, die Trägheitsmomente in cm^4 anzugeben.

Wenn die Querschnitte eine unregelmäßige Form haben, so ist es oft vorthellhaft, die Trägheitsmomente graphisch zu ermitteln. Nennt man, wie oben, die einzelnen Flächentheile, in welche die ganze Querschnittsfläche zerlegt wird, $f_1, f_2, f_3 \dots f_n$, die Abstände der Schwerpunkte derselben von derjenigen Axe XX , für welche das Trägheitsmoment gesucht wird, bzw. $y_1, y_2, y_3 \dots y_n$, so ist

$$\mathcal{I} = i_1 + i_2 + i_3 + \dots + i_n = \Sigma (f y^2) = f_1 y_1^2 + f_2 y_2^2 + f_3 y_3^2 + \dots,$$

$$\mathcal{I} = f_1 y_1 \cdot y_1 + f_2 y_2 \cdot y_2 + f_3 y_3 \cdot y_3 + \dots$$

56.
Kreisförmige
Querschnitte.

57.
Mafseinheit für
die Trägheits-
momente.

58.
Graphische
Ermittlung der
Trägheits-
momente.

Nun sind $f_1 y_1, f_2 y_2, f_3 y_3 \dots$ die statischen Momente der einzelnen Flächentheile für die Axe XX ; setzt man $f_1 y_1 = m_1, f_2 y_2 = m_2, f_3 y_3 = m_3 \dots$, so wird

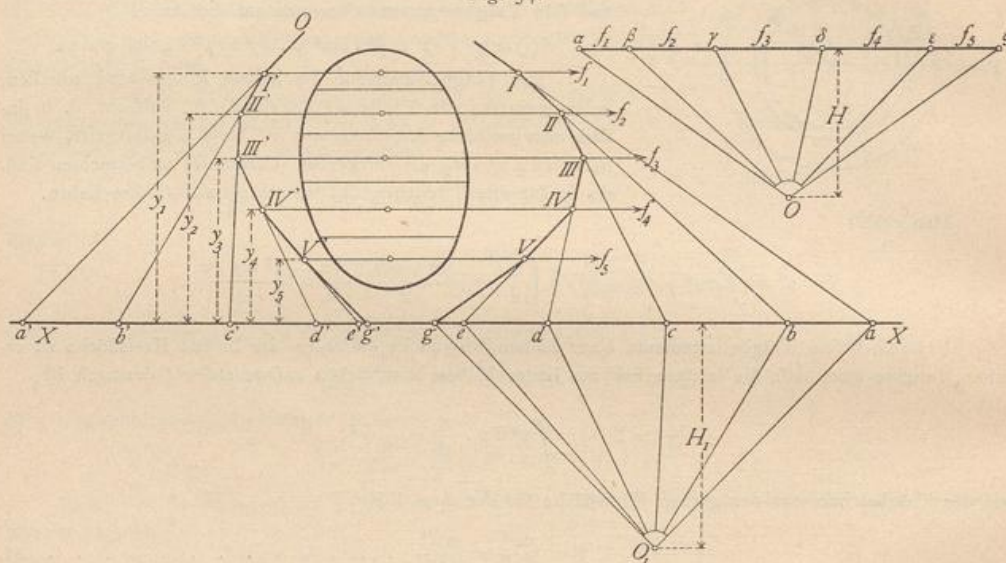
$$\mathcal{J} = i_1 + i_2 + i_3 + \dots = m_1 y_1 + m_2 y_2 + m_3 y_3 + \dots$$

59.
Culman'sches
Verfahren.

Man braucht also nur mit den Werthen $m_1, m_2, m_3 \dots$ genau so zu verfahren, wie oben (in Art. 47, S. 31) mit den Werthen $f_1, f_2, f_3 \dots$, um die statischen Momente von $m_1, m_2, m_3 \dots$, d. h. die Trägheitsmomente zu erhalten. Darauf beruht das nachfolgende von *Culman* angegebene Verfahren (Fig. 54).

Man zerlege den Querschnitt in Streifen, die zu derjenigen Axe parallel sind, für welche das Trägheitsmoment gesucht wird, und ermittle zunächst, wie oben (in Art. 47, S. 31) gezeigt ist, die statischen Momente für die Axe XX . Die Stücke $ab, bc, cd \dots$ sind den statischen Momenten proportional. Man

Fig. 54.



nehme nun einen neuen Pol O_1 an, ziehe die Strahlen $O_1 a, O_1 b, O_1 c \dots$ und construire für die Kräfte $m_1, m_2, m_3 \dots$, die in denselben Linien wirkend angenommen werden, wie die $f_1, f_2, f_3 \dots$, das zugehörige Seilpolygon $O P I P II P III P \dots g' \dots$. Werden die Seilpolygoneiten über die Eckpunkte hinaus bis zu den Schnittpunkten mit der Axe XX verlängert, so ist

$$\triangle P' a' b' \sim \triangle O_1 a b, \text{ also } \frac{a' b'}{y_1} = \frac{a b}{H_1}.$$

Es ist aber (siehe Art. 47, S. 31)

$$\overline{a b} = \frac{f_1 y_1}{H}, \text{ mithin } \overline{a' b'} = \frac{f_1 y_1^2}{H H_1} = \frac{i_1}{H H_1} \text{ und } i_1 = H H_1 \cdot \overline{a' b'}.$$

Eben so ergibt sich

$$\triangle II' b' c' \sim \triangle O_1 b c, \text{ mithin } \frac{b' c'}{y_2} = \frac{b c}{H_1} = \frac{f_2 y_2}{H H_1} \text{ und } \overline{b' c'} = \frac{f_2 y_2^2}{H H_1} = \frac{i_2}{H H_1};$$

sonach

$$i_2 = H \cdot H_1 \cdot \overline{b' c'}; \text{ eben so } i_3 = H \cdot H_1 \cdot \overline{c' d'} \dots$$

Man erhält demnach

$$\mathcal{J} = \Sigma (i) = H H_1 (a' b' + b' c' + c' d' + \dots) = H H_1 \cdot \overline{a' g'}.$$

Das Trägheitsmoment der Fläche F für eine Axe XX ist also gleich dem von den äußersten Seiten des Seilpolygons $O P I P II P III P \dots$ auf der Axe abgechnittenen Stücke $a' g'$, multiplicirt mit dem Producte der beiden Polabstände H und H_1 .

Genau eben so, wie oben bei den statischen Momenten (siehe Art. 47, S. 31) nachgewiesen ist, ergibt sich auch hier, daß die Strecke $a' g'$ und H_1 auf dem Längenmaßstabe, H auf demjenigen Flächenmaß-

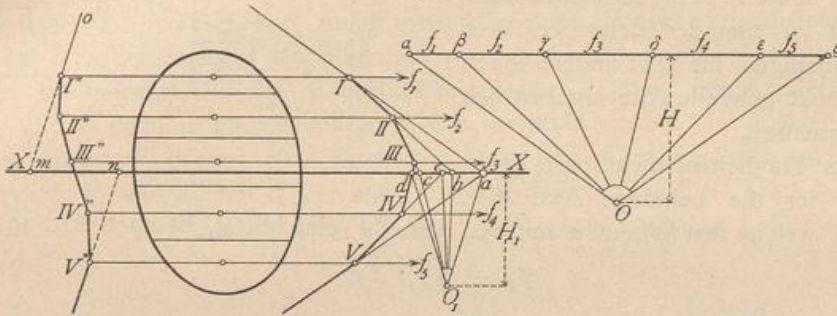
stabe zu messen ist, nach welchem $f_1, f_2, f_3 \dots$ aufgetragen sind; das Ergebnis ist jedoch das gleiche, wenn $\overline{a'g'}$ auf dem Flächenmaßstabe, H und H_1 auf dem Längenmaßstabe gemessen werden.

Ein Querschnitt sei in natürlicher Größe aufgezeichnet, $H = 5 \text{ cm}$ und $H_1 = 5 \text{ cm}$; ferner seien $f_1, f_2, f_3 \dots$ in einem Maßstabe aufgetragen, in welchem $1 \text{ cm} = 10 \text{ qcm}$ ist; alsdann wird, wenn $\overline{a'g'} = 4,6 \text{ cm}$ ist,

$$J = 4,6 \cdot 10 \cdot 5 \cdot 5 \text{ cm}^4.$$

Wenn die Axe XX eine Schwerpunktsaxe ist (Fig. 55), so sind zunächst die statischen Momente genau wie oben gezeigt zu ermitteln; die statischen Momente der oberhalb von XX liegenden Flächenteile haben entgegengesetzten Sinn, wie diejenigen der unterhalb von XX liegenden Flächen, weil die

Fig. 55.



Hebelsarme verschiedene Vorzeichen haben. Der Sinn der einzelnen Momente ist ab, bc, cd, de, ea ; Anfangspunkt a und Endpunkt a fallen zusammen. Wird jetzt der Pol O_1 angenommen, so sind die Strahlen $O_1a, O_1b, O_1c, O_1d, O_1e, O_1a$; der letzte Strahl fällt mit dem ersten zusammen. Als Seilpolygon erhält man $O I'' II'' \dots V''$, und es ist

$$J_S = H \cdot H_1 \cdot \overline{m n}.$$

Ein anderes Verfahren hat *Mohr* angegeben.

Wenn die statischen Momente nach dem in Art. 47 (S. 31) vorgeführten Verfahren konstruiert sind (Fig. 54), so ist der Flächeninhalt des Dreieckes $I a b$

$$\varphi_1 = \frac{\overline{ab} \cdot y_1}{2} = \frac{f_1 y_1}{H} \cdot \frac{y_1}{2} = \frac{f_1 y_1^2}{2H} = \frac{i_1}{2H}$$

und der Flächeninhalt des Dreieckes $II b c$

$$\varphi_2 = \frac{\overline{bc} \cdot y_2}{2} = \frac{f_2 y_2}{H} \cdot \frac{y_2}{2} = \frac{f_2 y_2^2}{2H} = \frac{i_2}{2H}.$$

Eben so kann man für jeden Flächenteil f nachweisen, daß sein Trägheitsmoment für eine Axe XX gleich ist dem Flächeninhalte des Dreieckes, welches von der Axe und den das betreffende Flächenteilchen begrenzenden Seilpolygoneiten eingeschlossen ist, multiplicirt mit dem doppelten Polabstand. Es ist also

$$i_1 = 2H \varphi_1, \quad i_2 = 2H \varphi_2, \quad i_3 = 2H \varphi_3 \dots$$

und

$$J = \Sigma (i) = 2H \Sigma (\varphi) = 2H F_1,$$

wenn $F_1 = \Sigma (\varphi)$ ist.

Handelt es sich um das Trägheitsmoment für die Schwerpunktsaxe (Fig. 55), so bleibt Alles giltig, und es wird

$$J_S = 2H F_2,$$

wenn F_2 den Flächeninhalt der Figur $I II III IV V a I$ bedeutet.

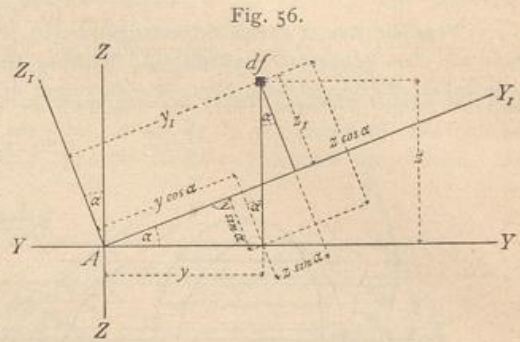
Handelt es sich um das Trägheitsmoment eines Querschnittes für eine beliebige, nicht durch den Schwerpunkt gehende Axe, so kann man dasselbe aus demjenigen für die parallele Schwerpunktsaxe nach Art. 50 (S. 34) ermitteln; dieses letztere ist aber im Vorstehenden nur für sehr einfache Querschnittsformen und selbst bei diesen nur für einige wenige Lagen der Axen rechnerisch bestimmt. Für beliebig

6a.
Mohr'sches
Verfahren.

6r.
Trägheits-
momente für
verschiedene
Schwerpunkts-
axen.

liegende Axen, also beispielsweise beim Rechteckquerschnitt für eine Axe, welche keiner Seite parallel ist, wird die Berechnung meist recht umständlich. Dagegen ist die Ermittlung sehr bequem, wenn man das gefuchte Trägheitsmoment für eine beliebige Schwerpunktsaxe durch diejenigen für zwei andere Schwerpunktsaxen ausdrückt, welche einen beliebigen, zweckmäßig einen rechten Winkel mit einander bilden.

Die Beziehungen zwischen den Trägheitsmomenten zweier in einem beliebigen Punkte *A* der Querschnittsebene senkrecht zu einander stehender Axen und demjenigen für eine andere durch diesen Punkt gehende Axe ergeben sich folgendermaßen.



Das Trägheitsmoment eines Querschnittes für die beliebige Axe *AY₁* (Fig. 56), welche den Winkel α mit der Axe *YY* einschließt, ist nach Art. 49 (S. 33)

$$\mathcal{I}_{Y_1} = \int z_1^2 df.$$

Nach Fig. 56 ist

$$z_1 = z \cos \alpha - y \sin \alpha,$$

folglich

$$\mathcal{I}_{Y_1} = \int z^2 \cos^2 \alpha \cdot df + \int y^2 \sin^2 \alpha \cdot df - \int 2 y z \sin \alpha \cos \alpha \cdot df.$$

Die Integration ist über den ganzen Querschnitt auszudehnen; bei derselben ist α constant; da nun

$$\int z^2 df = \mathcal{I}_Z, \quad \int y^2 df = \mathcal{I}_Y \quad \text{und} \quad \int y z \cdot df = \mathcal{I}_{YZ}$$

ist, so folgt

$$\mathcal{I}_{Y_1} = \mathcal{I}_Y \cos^2 \alpha + \mathcal{I}_Z \sin^2 \alpha - \mathcal{I}_{YZ} \sin 2 \alpha \dots \dots \dots 22.$$

Das Trägheitsmoment für die Axe *AZ₁* wird erhalten, indem man an Stelle von α den Winkel einführt, welchen *AZ₁* mit *YY* bildet, d. h. $90 + \alpha$. Dann ergibt sich

$$\mathcal{I}_{Z_1} = \mathcal{I}_Z \cos^2 \alpha + \mathcal{I}_Y \sin^2 \alpha + \mathcal{I}_{YZ} \sin 2 \alpha \dots \dots \dots 23.$$

Die beiden Gleichungen 22 u. 23 geben die Abhängigkeit des Trägheitsmomentes von der Lage der Schweraxen an. Besonders wichtig ist die Lage der Axen, für welche das Trägheitsmoment ein Maximum und ein Minimum wird. \mathcal{I}_{Y_1} wird ein Maximum für den Werth von α , für welchen

$$\frac{d \mathcal{I}_{Y_1}}{d \alpha} = -2 \mathcal{I}_Y \cos \alpha \sin \alpha + 2 \mathcal{I}_Z \sin \alpha \cos \alpha - 2 \mathcal{I}_{YZ} \cos 2 \alpha = 0,$$

d. h. für welchen $(\mathcal{I}_Z - \mathcal{I}_Y) \sin 2 \alpha = 2 \mathcal{I}_{YZ} \cos 2 \alpha$ wird. Es ist also

$$\text{tg } 2 \alpha_{max} = \frac{-2 \mathcal{I}_{YZ}}{\mathcal{I}_Z - \mathcal{I}_Y} \dots \dots \dots 24.$$

Dieser Gleichung genügen zwei Winkelgrößen 2α , welche um 180 Grad verschieden sind, da $\text{tg } (180 + 2 \alpha) = \text{tg } 2 \alpha$ ist. Es gibt also zwei Axen, für welche ein Maximum, bzw. Minimum des Trägheitsmomentes stattfindet, und diese beiden Axen bilden mit der angenommenen Axe *YY* die Winkel α_{max} , bzw. $90 + \alpha_{max}$; diese beiden Axen stehen senkrecht zu einander. Ob Maximum oder Mini-

mum für die eine oder andere Axe stattfindet, ergibt die zweite Differentiation. Man findet leicht, daß die zweiten Abgeleiteten nach α für zwei Winkel, welche um 90 Grad verschieden sind, entgegengesetztes Vorzeichen haben; entspricht demnach dem Winkel α das Maximum, so tritt für den Winkel $(90 + \alpha)$ das Minimum des Trägheitsmomentes ein.

Es folgt daraus der Satz: Für jeden Punkt in der Ebene des Querschnittes ist eine Axe vorhanden, für welche das Trägheitsmoment ein Maximum, eine andere, für welche das Trägheitsmoment ein Minimum wird. Beide Axen stehen zu einander senkrecht.

62.
Hauptaxen.

Man nennt diese Axen die Hauptaxen. Diejenige, für welche das Trägheitsmoment seinen Größtwerth hat, nennt man die erste Hauptaxe, diejenige, für welche das Trägheitsmoment ein Minimum wird, heißt die zweite Hauptaxe.

Die Veränderlichkeit des Centrifugalmomentes \mathcal{F}_{YZ} mit der Aenderung der Axen Y und Z kann in ganz ähnlicher Weise ermittelt werden, wie oben für das Trägheitsmoment \mathcal{F} gezeigt ist. Bezeichnet man das Centrifugalmoment für die beiden Axen Y_1 und Z_1 mit $\mathcal{F}_{Y_1 Z_1}$ und beachtet, daß

$$z_1 = z \cos \alpha - y \sin \alpha \quad \text{und} \quad y_1 = y \cos \alpha + z \sin \alpha$$

ist, so wird

$$\mathcal{F}_{Y_1 Z_1} = \int y_1 z_1 df = \int (y \cos \alpha + z \sin \alpha)(z \cos \alpha - y \sin \alpha) df,$$

$$\mathcal{F}_{Y_1 Z_1} = (\cos^2 \alpha - \sin^2 \alpha) \int y z df + \frac{\sin 2 \alpha}{2} (\int z^2 df - \int y^2 df),$$

$$\mathcal{F}_{Y_1 Z_1} = \mathcal{F}_{YZ} \cos 2 \alpha + \frac{\sin 2 \alpha}{2} (\mathcal{F}_Y - \mathcal{F}_Z). \quad \dots \quad 25.$$

$\mathcal{F}_{Y_1 Z_1}$ wird gleich Null für $(\mathcal{F}_Y - \mathcal{F}_Z) \sin 2 \alpha = -2 \mathcal{F}_{YZ} \cos 2 \alpha$, sonach für

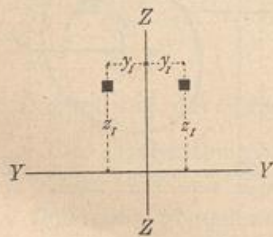
$$\operatorname{tg} 2 \alpha = - \frac{2 \mathcal{F}_{YZ}}{\mathcal{F}_Y - \mathcal{F}_Z} = \frac{2 \mathcal{F}_{YZ}}{\mathcal{F}_Z - \mathcal{F}_Y}.$$

Dies ist derselbe Werth, für welchen nach Gleichung 24 Maximum, bezw. Minimum des Trägheitsmomentes stattfindet. Für die Hauptaxen ist sonach

$$\mathcal{F}_{Y_1 Z_1} = \int y_1 z_1 df = 0.$$

Für viele Querschnitte ist hierdurch ein bequemes Kennzeichen zur Bestimmung der Hauptaxen gefunden. Man suche diejenigen Axen, für welche $\mathcal{F}_{Y_1 Z_1} = 0$ ist; alsdann sind die gefundenen Axen die Hauptaxen. Es genügt, eine Hauptaxe zu suchen, da nach Früherem die andere mit derselben stets einen Winkel von 90 Grad einschließt.

Fig. 57.

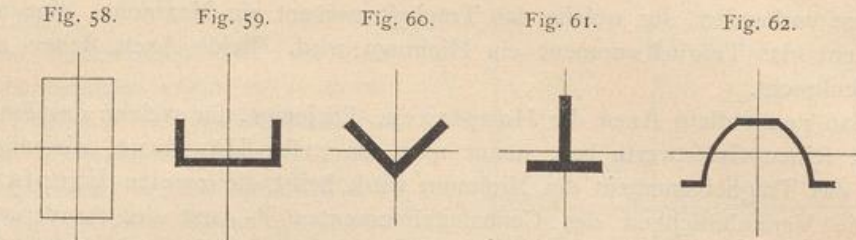


Bei sämtlichen zu einer oder mehreren Axen symmetrisch liegenden Querschnitten sind die Symmetriexen auch zugleich die Hauptaxen. Denn sei etwa die Z -Axe eine Symmetrieaxe, so entspricht jedem df mit den Coordinaten y_1, z_1 ein df mit den Coordinaten $-y_1, z_1$ (Fig. 57). Die Beiträge der beiden df zu $\mathcal{F}_{Y_1 Z_1}$ sind also

$$df \cdot y_1 z_1 - df \cdot y_1 z_1 = 0.$$

Genau eben so ist es mit sämtlichen übrigen Querschnittstheilen; die Summe der Beiträge je zweier symmetrisch liegender Flächentheile ist gleich Null, so daß also auch die Gesamtsomme $\mathcal{F}_{Y_1 Z_1} = \int y_1 z_1 df = 0$ ist.

Bei den in Fig. 58 bis 62 dargestellten Querschnitten sind die Haupttaxen angegeben. In den im vorhergehenden Halbbande dieses »Handbuches« mitgetheilten Tabellen über die »Deutschen Normal-Profile für Walzeisen« sind die Trägheitsmomente für solche Axen mit aufgenommen worden, welche beim Berechnen von Hochbau-Constructions eine Rolle spielen.



63.
Wahl der Haupttaxen als Axen der Y und Z.

Wählt man die Haupttaxen als Axen der Y und Z (Fig. 57), so ist für diese nach Obigem $\int y z df = \mathcal{F}_{YZ} = 0$; mithin ist, wenn man das Trägheitsmoment in Bezug auf die eine Hauptaxe mit A, dasjenige in Bezug auf die andere mit B bezeichnet, in den Gleichungen 22, 23 u. 25 für \mathcal{F}_Y und \mathcal{F}_Z bzw. A und B, so wie für $\mathcal{F}_{YZ} = 0$ einzusetzen. Man erhält für diese Lage der Haupttaxen:

$$\left. \begin{aligned} \mathcal{F}_{Y_1} &= A \cos^2 \alpha + B \sin^2 \alpha \\ \mathcal{F}_{Z_1} &= A \sin^2 \alpha + B \cos^2 \alpha \\ \mathcal{F}_{Y_1 Z_1} &= (A - B) \frac{\sin 2 \alpha}{2} \end{aligned} \right\} \dots \dots \dots 26.$$

Sind A und B, d. h. die beiden Hauptträgheitsmomente einander gleich, so ist $\mathcal{F}_{Y_1} = A (\cos^2 \alpha + \sin^2 \alpha) = A$,

d. h. \mathcal{F}_{Y_1} ist alsdann von α unabhängig, also für jedes α gleich A.

Hieraus folgt: Sind die beiden Hauptträgheitsmomente gleich groß, so sind alle Trägheitsmomente gleich groß.

64.
Centrifugalmomente.

Bei vielen statischen Untersuchungen ist es wichtig, die Lage der Haupttaxen und die Größe der Werthe von A und B zu kennen. Für die Ermittlung dieser Werthe aber bedarf man nach vorstehenden Entwicklungen der Kenntniss des Centrifugalmomentes $\mathcal{F}_{YZ} = \int y z df$.

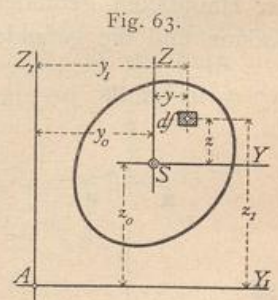
Legt man durch einen beliebigen Punkt A in der Ebene eines Querschnittes (Fig. 63) und durch den Schwerpunkt S desselben je zwei parallele Axen $A Y_1$ und $A Z_1$, bzw. SY und SZ, bezeichnet man die Coordinaten des Schwerpunktes für die ersten beiden Axen mit z_0 und y_0 , die Centrifugalmomente für die Axenpaare bzw. mit $\mathcal{F}_{Y_1 Z_1}$ und \mathcal{F}_{YZ} , so ist

$$\mathcal{F}_{Y_1 Z_1} = \mathcal{F}_{YZ} + F y_0 z_0.$$

Denn es ist

$$\mathcal{F}_{Y_1 Z_1} = \int y_1 z_1 df, \quad y_1 = y + y_0 \quad \text{und} \quad z_1 = z + z_0; \quad \text{also}$$

$$\mathcal{F}_{Y_1 Z_1} = \int (y + y_0) (z + z_0) df = \int y z df + y_0 \int z df + z_0 \int y df + y_0 z_0 \int df.$$



Nun ist $\int yz \, df = \mathcal{F}_{YZ}$, $\int df = F$, $\int z \, df = 0$ und $\int y \, df = 0$; die letzteren beiden Werthe ergeben sich, weil SY und SZ Schwerpunktsaxen sind (vergl. Art. 33, S. 26, unter α). Es wird somit

$$\mathcal{F}_{Y_1 Z_1} = \mathcal{F}_{YZ} + F y_0 z_0 \dots \dots \dots 27.$$

Wenn die Schwerpunktsaxen Hauptaxen sind, so ist $\mathcal{F}_{YZ} = 0$, demnach

$$\mathcal{F}_{Y_1 Z_1} = F y_0 z_0 \dots \dots \dots 28.$$

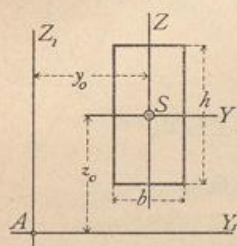
Diese Formel ist sehr bequem. Soll beispielsweise das Centrifugalmoment für die Axen AY_1 und AZ_1 (Fig. 64) und den Rechtecksquerschnitt ermittelt werden, dessen Seiten parallel zu den Axen sind, so lege man durch den Schwerpunkt zwei den ersteren bzw. parallele Axen SY und SZ ; alsdann wird

$$\mathcal{F}_{Y_1 Z_1} = F y_0 z_0.$$

Fällt etwa A mit einer Ecke zusammen, so wird

$$\mathcal{F}_{Y_1 Z_1} = \frac{b^2 h^2}{4}.$$

Fig. 64.



Beispiel. Es soll das Centrifugalmoment eines ungleichschenkeligen Winkelblechs (Fig. 65) für zwei durch seinen Schwerpunkt gelegte Axen ermittelt werden, welche den Winkelbleichschenkeln parallel sind.

Zerlegt man den Querschnitt in zwei Rechtecke, deren eines den ganzen lothrechten Schenkel enthält, deren anderes den wagrechten Schenkel nach Abzug des schon beim ersten mitberechneten Rechteckes in der Ecke bildet, und nennt man die Flächeninhalte F_1 und F_2 , so wie die Abstände der Einzelschwerpunkte von den Axen bzw. y_0', z_0', y_0'', z_0'' , so ist

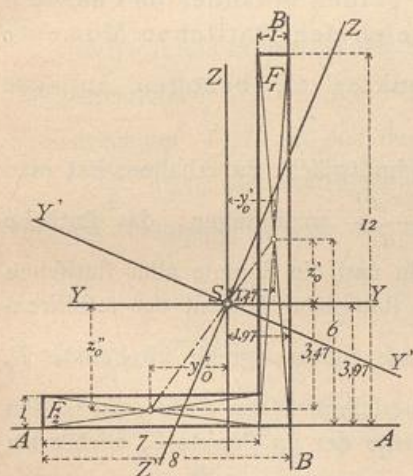
$$\mathcal{F}_{YZ} = F_1 y_0' z_0' + F_2 y_0'' z_0''.$$

Die Länge des großen und kleinen Schenkels sei bzw. 12 und 8 cm, die Stärke beider Schenkel 1,0 cm (Deutsches Normal-Profil Nr. 8/12) und der Abstand des Schwerpunktes von der äußeren Kante des langen, bzw. kurzen Schenkels 1,97 cm, bzw. 3,97 cm; alsdann ist

$$\mathcal{F}_{YZ} = 12 \cdot 1 \cdot 1,47 (6 - 3,97) + 7 \cdot 1 \cdot 3,47 (4,5 - 1,97) = 97,26 \text{ cm}^4.$$

Die Einheit, in welcher die Centrifugalmomente erhalten werden, ist dieselbe, wie bei den Trägheitsmomenten, und es wird auf das hierüber in Art. 57 (S. 37) Gefagte verwiesen. Befondere Aufmerksamkeit ist aber hier auf die Vorzeichen der Coordinaten y_0 und z_0 zu verwenden. In obigem Beispiel sind für das erste Rechteck beide positiv, für das zweite Rechteck beide negativ einzuführen; das Product ist hier also für jedes der Theilrechtecke positiv.

Fig. 65.



d) Darstellung der Trägheits- und Centrifugalmomente mit Hilfe von Kreisen.

Ein Flächentheilchen df hat für die beiden einander im Punkte P schneidenden Axen AA und BB das Centrifugalmoment $d\mathcal{F}_{AB} = uv \cdot df$, wenn u und v die senkrecht gemessenen Abstände des Theilchens df von den Axen bedeuten (Fig. 66). Bezeichnet man den Abstand desselben von dem Punkte P mit ρ , so wird $i_p = \rho^2 df$ das polare Trägheitsmoment von df für Punkt P genannt. Man lege durch P einen Kreis mit beliebigem Mittelpunkt M und beliebigem Halbmesser r , welcher die beiden Axen AA und BB ausser in P noch in den Punkten A'

65.
Grundlage.